

Verslag van elementen-methode in potentiaalstroming

Citation for published version (APA):

Hulsebos, A. (1971). *Verslag van elementen-methode in potentiaalstroming*. (DCT rapporten; Vol. 1971.045). Technische Hogeschool Eindhoven.

Document status and date:

Gepubliceerd: 01/01/1971

Document Version:

Uitgevers PDF, ook bekend als Version of Record

Please check the document version of this publication:

- A submitted manuscript is the version of the article upon submission and before peer-review. There can be important differences between the submitted version and the official published version of record. People interested in the research are advised to contact the author for the final version of the publication, or visit the DOI to the publisher's website.
- The final author version and the galley proof are versions of the publication after peer review.
- The final published version features the final layout of the paper including the volume, issue and page numbers.

[Link to publication](#)

General rights

Copyright and moral rights for the publications made accessible in the public portal are retained by the authors and/or other copyright owners and it is a condition of accessing publications that users recognise and abide by the legal requirements associated with these rights.

- Users may download and print one copy of any publication from the public portal for the purpose of private study or research.
- You may not further distribute the material or use it for any profit-making activity or commercial gain
- You may freely distribute the URL identifying the publication in the public portal.

If the publication is distributed under the terms of Article 25fa of the Dutch Copyright Act, indicated by the "Taverne" license above, please follow below link for the End User Agreement:

www.tue.nl/taverne

Take down policy

If you believe that this document breaches copyright please contact us at:

openaccess@tue.nl

providing details and we will investigate your claim.

WE 71-45

verslag van
Elementaire methode in potentiaaltheorie

Ton Hulshof.

26/3/71

Inhoudsopgave

Litt. lijst	2
Symbolenlijst	3
H1 Potentiaalstroming	4
H2 Variatie rekening	5
H3 Opzetten elementen methode	6
H4 Resultaten	9
B1 Behoudswetten	11
B2 Constitutive vergelijkingen	14
B3 Schematische opbouw van het FEM-programma	16

Litteratuurlijst.

Fysische transportverschijnselen I

G. Vossers.

Wiskunde IV A

S.T.M. Ackerhans.

Höhere Technische Mechanik

Szabó

Symbolen lijst

ρ	$[ML^{-3}]$	soortelijke massa
t	$[T]$	tijd
v	$[LT^{-1}]$	snelheid
u, v, w		componenten
φ, ϕ	$[L^2 T^{-2}]$	snelheidspotentiaal
s	$[L]$	wordt in aart langs de raand
t	$[L]$	raandlijn
h	$[L]$	normaal
$d\tau$	$[L^3]$	volume elementje
S		raand
\mathcal{G}		gebied
F		raand, oppervlak
B		gebied, lichaam

H 4

Potentiaal stroming.

Potentiaal theorie.

Algemeen geldt: Keen gladde kromme, $\varphi(z)$ gedefinieerd op K dan

$$\int_K (\text{grad } \varphi, \underline{t}) ds = \varphi(\text{eindpunt}) - \varphi(\text{beginpunt}).$$

Is K een gesloten kromme dan geldt $\oint_K (\text{grad } \varphi, \underline{t}) ds = 0$.

Als in een gebied in \mathbb{R}^2 geldt $\oint_K (\underline{u}, \underline{t}) ds = 0$ dan is dat veld $\underline{u}(z)$ conservatief.

Voor een conservatief veld geldt $\underline{u} = \text{grad } \varphi$.

Een stroming is conservatief als er geen wand is, of als er geen viscositeit is.

(bijv de stroming door een pijp, met viscositeit een parabolisch snelheidsverloop niet conservatief).

Stel er is een snelheidsveld waarvoor geldt $\underline{v} = \text{grad } \varphi$.

Wat gebeurt er dan in de continuïteitsvergelijking en in de impulsvergelijking.

1. continuïteitsvergelijking $\text{div } \underline{v} = 0$ wordt $\text{div grad } \varphi = 0$ of $\nabla^2 \varphi = 0$, de potentiaalvergelijking.

2. Navier-Stokes: $\rho \frac{\partial \underline{v}}{\partial t} + \rho \underline{v} \cdot \text{grad } \underline{v} = \rho \underline{g} - \text{grad } p + \eta \nabla^2 \underline{v}$.

$$\underline{g} = -\text{grad } U$$

$$\underline{v} \cdot \text{grad } \underline{v} = \frac{1}{2} \text{grad } v^2 - \underline{v} \times \text{rot } \underline{v}.$$

$$\text{waarin } v^2 = v_x^2 + v_y^2$$

$$x\text{-component van } \underline{v} \cdot \text{grad } \underline{v} = v_x \frac{\partial v_x}{\partial x} + v_y \frac{\partial v_x}{\partial y} = v_x \frac{\partial v_x}{\partial x} + v_y \frac{\partial v_y}{\partial x} - v_y \left(\frac{\partial v_y}{\partial x} - \frac{\partial v_x}{\partial y} \right)$$

$$\text{Nu N.S.: } \rho \frac{\partial \underline{v}}{\partial t} + \frac{1}{2} \rho \text{grad } v^2 - \rho \underline{v} \times \text{rot } \underline{v} + \text{grad } p + \rho \text{grad } U = \eta \nabla^2 \underline{v}$$

met $\underline{v} = \text{grad } \varphi$ wordt $\text{rot grad } \varphi = 0$ (Wisk III).

$$\text{N.S.: } \rho \frac{\partial}{\partial t} (\text{grad } \varphi) + \frac{1}{2} \rho \text{grad } (\text{grad } \varphi)^2 + \text{grad } p + \rho \text{grad } U = \eta \text{div grad } (\text{grad } \varphi) = 0$$

$$[x\text{-comp. van } \eta \text{div grad } \underline{v} = \eta \left(\frac{\partial^2 v_x}{\partial x^2} + \frac{\partial^2 v_x}{\partial y^2} \right) = \eta \left(\frac{\partial^3 \varphi}{\partial x^3} + \frac{\partial^3 \varphi}{\partial x \partial y^2} \right) = \eta \frac{\partial}{\partial x} (\nabla^2 \varphi) = 0]$$

$$\text{N.S.: } \text{grad } \left[\rho \frac{\partial \varphi}{\partial t} + \frac{1}{2} \rho (\text{grad } \varphi)^2 + p + \rho U \right] = 0$$

stel φ instationair dan wordt N.S.: $\frac{1}{2} \rho v^2 + p + \rho U = \text{constant}$. Een soort Bernoulli vergelijking, maar de constante geldt voor het hele gebied.

1/2

Variatie rekening.

Veronderstel de volgende functionaal

$$J = -\frac{1}{2} \iint_{\Omega} \left\{ \left(\frac{\partial \phi}{\partial x} \right)^2 + \left(\frac{\partial \phi}{\partial y} \right)^2 \right\} dx dy + \oint_S \phi \left(\frac{\partial \phi}{\partial n} \right)_0 ds$$

Variëren hiervan geeft:

$$\delta J = -\frac{1}{2} \iint_{\Omega} \left\{ 2 \frac{\partial \delta \phi}{\partial x} \frac{\partial \phi}{\partial x} + 2 \frac{\partial \delta \phi}{\partial y} \frac{\partial \phi}{\partial y} \right\} dx dy + \oint_S \delta \phi \left(\frac{\partial \phi}{\partial n} \right)_0 ds =$$

$$= -\iint_{\Omega} \left\{ \frac{\partial}{\partial x} \left(\delta \phi \frac{\partial \phi}{\partial x} \right) + \frac{\partial}{\partial y} \left(\delta \phi \frac{\partial \phi}{\partial y} \right) \right\} dx dy + \oint_S \delta \phi \left(\frac{\partial^2 \phi}{\partial x^2} + \frac{\partial^2 \phi}{\partial y^2} \right) dx dy - \oint_S \frac{\partial}{\partial y} \left(\delta \phi \frac{\partial \phi}{\partial y} \right) dx dy +$$

$$+ \oint_S \delta \phi \frac{\partial^2 \phi}{\partial y^2} dx dy + \oint_S \delta \phi \left(\frac{\partial \phi}{\partial n} \right)_0 ds =$$

$$= \iint_{\Omega} \delta \phi \left\{ \frac{\partial^2 \phi}{\partial x^2} + \frac{\partial^2 \phi}{\partial y^2} \right\} dx dy + \oint_S \delta \phi \left(\frac{\partial \phi}{\partial n} \right)_0 ds - \iint_{\Omega} \left\{ \frac{\partial}{\partial x} \left(\delta \phi \frac{\partial \phi}{\partial x} \right) + \frac{\partial}{\partial y} \left(\delta \phi \frac{\partial \phi}{\partial y} \right) \right\} dx dy$$

$$\rightarrow \delta J = \iint_{\Omega} \delta(\phi) \left\{ \frac{\partial^2 \phi}{\partial x^2} + \frac{\partial^2 \phi}{\partial y^2} \right\} dx dy + \oint_S \delta \phi \left\{ \left(\frac{\partial \phi}{\partial n} \right)_0 - \frac{\partial \phi}{\partial n} \right\} ds = 0$$

Om op deze laatste formule te komen is gebruik gemaakt van Stokes

$$\iint_{\Omega} \left\{ \frac{\partial a_2}{\partial x} - \frac{\partial a_1}{\partial y} \right\} dx dy = \oint_S \{ a_1 t_1 + a_2 t_2 \} ds = \oint_S (-a_1 n_y + a_2 n_x) ds$$

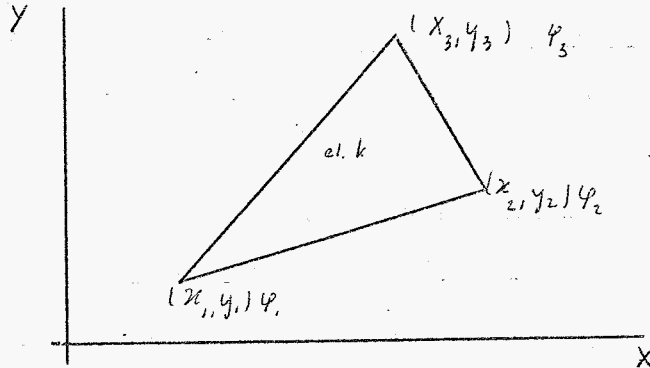
Door δJ nul te stellen en $\delta \phi$ goed te kiezen komt er:

1. $\frac{\partial^2 \phi}{\partial x^2} + \frac{\partial^2 \phi}{\partial y^2} = 0 = \nabla^2 \phi$ de potentiaalvergelijking.

2. $\left(\frac{\partial \phi}{\partial n} \right)_0 - \left(\frac{\partial \phi}{\partial n} \right) = 0$ de randvoorwaarden.

H3

Opzetten van de elementen methode



element k. rekenafwijking

Veronderstel dat voor een element geldt $\varphi = ax + by + c$

$$\text{of } \begin{pmatrix} \varphi_1 \\ \varphi_2 \\ \varphi_3 \end{pmatrix} = a \begin{pmatrix} x_1 \\ x_2 \\ x_3 \end{pmatrix} + b \begin{pmatrix} y_1 \\ y_2 \\ y_3 \end{pmatrix} + c$$

Dan is $\frac{\partial \varphi}{\partial x} = a$ en $\frac{\partial \varphi}{\partial y} = b$

$\underline{\varphi} = A \underline{a}$ waarin $A = \begin{pmatrix} x_1 & y_1 & 1 \\ x_2 & y_2 & 1 \\ x_3 & y_3 & 1 \end{pmatrix}$ of $\underline{a} = A^{-1} \underline{\varphi} = B \underline{\varphi}$.

Functieaal: $J = -\frac{1}{2} \iint_{\Omega} \left\{ \left(\frac{\partial \varphi}{\partial x} \right)^2 + \left(\frac{\partial \varphi}{\partial y} \right)^2 \right\} dx dy + \oint_S \varphi \left(\frac{\partial \varphi}{\partial n} \right)_0 ds$

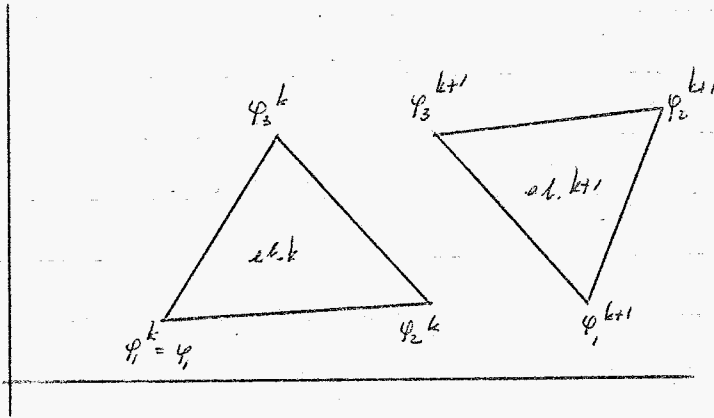
Het eerste stuk ervan is voor een element $\frac{1}{2} (\text{opp } \Delta k) (a^2 + b^2)$.

$$a^2 + b^2 = \underline{a}^T \begin{pmatrix} 1 & 0 & 0 \\ 0 & 1 & 0 \\ 0 & 0 & 0 \end{pmatrix} \underline{a} = \underline{a}^T S \underline{a} = \underline{\varphi}^T B^T S B \underline{\varphi} = \underline{\varphi}^T \frac{D_e}{\text{opp } \Delta k} \underline{\varphi}$$

$$J = -\frac{1}{2} \underline{\varphi}^T D_e \underline{\varphi} + \oint_S \varphi \left(\frac{\partial \varphi}{\partial n} \right)_0 ds$$

Voor $\oint_S \varphi \left(\frac{\partial \varphi}{\partial n} \right)_0 ds$ kan worden geschreven $\underline{\varphi}^T \underline{f}$. Wat die \underline{f} is wordt later uit één gezet.

Het ommenroegen van de matrices Q_c .



Het ommenroegen

Om een oplossing te krijgen moet de functionaal naar ϕ gevarieerd worden. De matrices Q_c worden samengevoegd tot Q .

Dan is de functionaal $-\frac{1}{2} \phi^T Q \phi + \phi^T f$, dit variëren geeft $\delta J = (-Q \phi + f) \delta \phi = 0$

(gebruik gemaakt van de eigenschap dat Q symmetrisch is).

$$\delta J = 0 \rightarrow Q \phi = f \text{ (geeft de oplossing van } \phi \text{).}$$

Nu twee punten: 1 hoe voegt men Q samen, 2 wat is f .

1. voor element k :

$$\begin{pmatrix} q_{11}^k & q_{12}^k & q_{13}^k \\ q_{21}^k & q_{22}^k & q_{23}^k \\ q_{31}^k & q_{32}^k & q_{33}^k \end{pmatrix} \begin{pmatrix} \phi_1^k \\ \phi_2^k \\ \phi_3^k \end{pmatrix} = \begin{pmatrix} f_1^k \\ f_2^k \\ f_3^k \end{pmatrix}$$

Dit is ook op te schrijven voor element $k+1$.

$$\begin{aligned} \text{Nu } \phi_1 &= \phi_1^k & \text{voor } f &: f_1 = f_1^k \\ \phi_2 &= \phi_2^k + \phi_1^{k+1} & f_2 &= f_2^k + f_1^{k+1} \\ \phi_3 &= \phi_3^k + \phi_1^{k+1} & f_3 &= f_3^k + f_1^{k+1} \\ \phi_4 &= \phi_2^{k+1} & f_4 &= f_2^{k+1} \end{aligned}$$

Nu wordt Q :

$$\varphi = \begin{bmatrix}
 \begin{matrix} 11 \\ q_{ek} \\ 21 \\ q_{ek} \\ 31 \\ q_{ek} \\ 0 \end{matrix} &
 \begin{matrix} 12 \\ q_{ek} \\ 22 \\ q_{ek} + q_{ek+1} \\ 32 \\ q_{ek} + q_{ek+1} \\ 31 \\ q_{ek+1} \end{matrix} &
 \begin{matrix} 13 \\ q_{ek} \\ 23 \\ q_{ek} + q_{ek+1} \\ 33 \\ q_{ek} + q_{ek+1} \\ 32 \\ q_{ek+1} \end{matrix} &
 \begin{matrix} 0 \\ 13 \\ q_{ek+1} \\ 23 \\ q_{ek+1} \\ 33 \\ q_{ek+1} \end{matrix}
 \end{bmatrix}$$

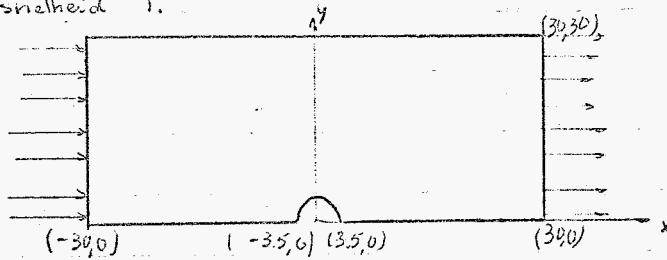
Het tweede punt wordt ook opgelost f_i = de bijdrage van de elementen aan de \int in het i de knooppunt. Maar f wordt alleen gevraagd voor de rand ($\int \varphi \left(\frac{\partial \phi}{\partial n} \right) ds$). In SJ is alleen van belang $\left(\frac{\partial \phi}{\partial n} \right)$, de voorgeschreven normale snelheid langs de rand. In deze worden in een vector f gezet. De f_k voor een binnenpunt k is nul.

Resultaten.

H4

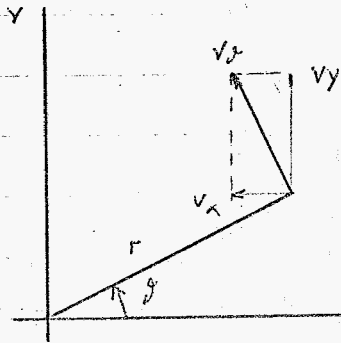
2 en gebied van 2000 elementen en 1581 knooppunten.

Inkomende snelheid 1.



het gebied met de mesh uitstromende snelheden.

De resultaten zijn het belangrijkste rond de cilinder. Uitgezet de snelheid in x en in y richting als functie van de hoek ϑ

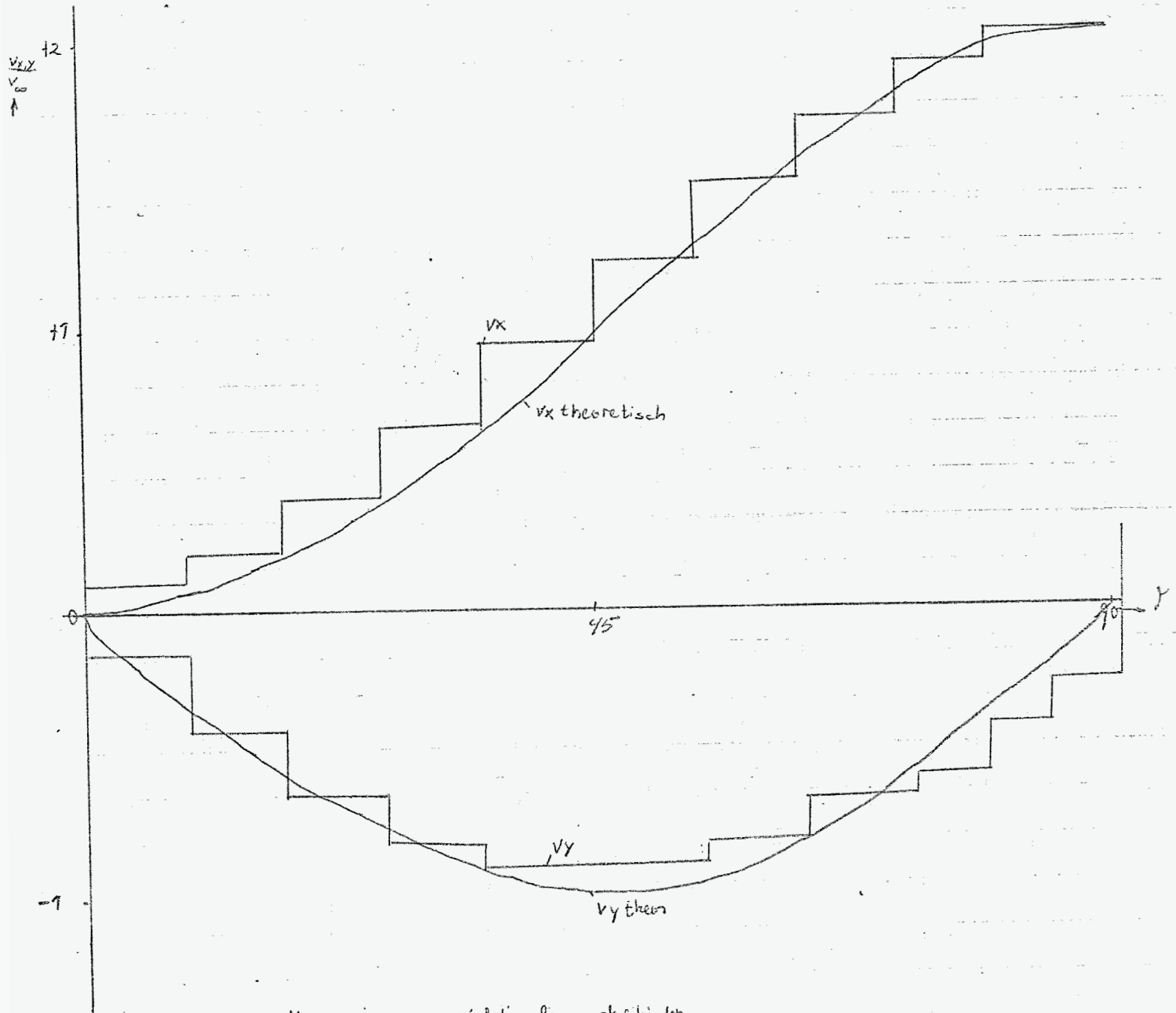


langs de cilinder (straal r).

$$v_x = 0$$

$$v_y = -2 v_{\infty} \sin \vartheta$$

Op de volgende pagina zijn de snelheden uitgezet, daarin is bijgetekend de theoretische waarden. De theoretische waarden gelden voor een oneindig groot gebied waarin de cilinder staat. Dat is de reden waarom de oplossing niet helemaal kloopt.

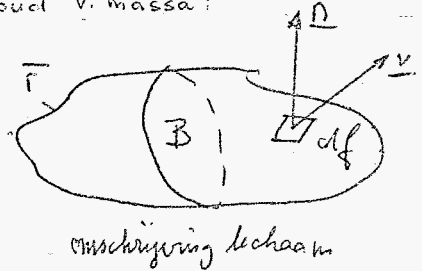


Spalten in x en y richting langs de zijden.

B1

Afleiding behoudswetten.

Behoud v. massa:



Neem een lichaam B, met rand F.

Een oppervlakte elementje df wordt gecharacteriseerd door de buiten normaal \underline{n} op dat elementje.

De massa die door dat elementje naar buiten stroomt is $\rho(\underline{v}, \underline{n}) df$. De massa flux door rand $F = \int_F \rho(\underline{v}, \underline{n}) df$. Dit is gelijk aan wat de massa in het lichaam verandert.

Dit geeft behoud van massa $\frac{\partial}{\partial t} \int \rho d\tau + \int_F \rho(\underline{v}, \underline{n}) df = 0$

of anders $\int_F \rho(\underline{v}, \underline{n}) df = \int_B \text{div } \rho \underline{v} d\tau$

De integraal formulering mag worden omschreven tot een differentiaal vorm:

Continuïteitsvergelijking $\frac{\partial \rho}{\partial t} + \text{div } \rho \underline{v} = 0$

Behoud van impuls:

Gebaseerd op $\underline{K} = \frac{d m \underline{v}}{dt}$; waarin $m \underline{v}$ de impuls is. Weer hetzelfde lichaam B en rand F (vast in de ruimte). Door een oppervlakte element df stroomt aan massa $\rho(\underline{v}, \underline{n}) df dt$.

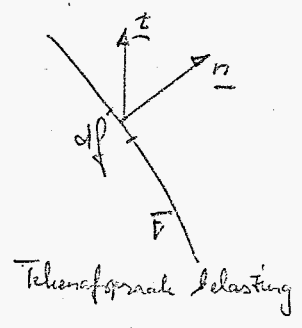
De vloeiende hoeveelheid impuls is dan $\underline{v} \rho(\underline{v}, \underline{n}) df dt$. De verandering van de impuls in het lichaam in die tijd is $\frac{\partial}{\partial t} (\rho \underline{v} d\tau) dt$.

Totaal verandering $\frac{\partial}{\partial t} \int_B \rho \underline{v} d\tau + \int_F \rho \underline{v}(\underline{v}, \underline{n}) df$

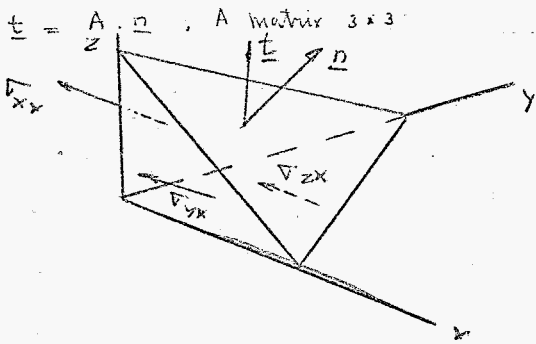
Dit is gelijk aan de uitwendige krachten 1) massa kracht $\int_B \rho \underline{g} d\tau$

2) oppervlakte kracht $\int_F \underline{\pm} df$

$\underline{\pm}$ spanning die door een wand op het medium wordt uitgeoefend.



De impuls wet $\frac{\partial}{\partial t} \iiint_B \rho \underline{v} d\tau + \iint_F \rho \underline{v} (\underline{v}, \underline{n}) d\mathcal{F} = \iiint_B \rho \underline{g} d\tau + \iint_F \underline{t} d\mathcal{F}$.



telemafsprake spanningen.

In het medium heerst alzijdige druk

$t_x d\mathcal{F} = (-p + \sigma_{xx}) \cos(n, x) d\mathcal{F} + \sigma_{yx} \cos(n, y) d\mathcal{F} + \sigma_{zx} \cos(n, z) d\mathcal{F}$

$A = S^T$, $S = \begin{pmatrix} -p + \sigma_{xx} & \sigma_{xy} & \sigma_{xz} \\ \sigma_{yx} & -p + \sigma_{yy} & \sigma_{yz} \\ \sigma_{zx} & \sigma_{zy} & -p + \sigma_{zz} \end{pmatrix}$

$\underline{t} = S^T \cdot \underline{n} \rightarrow \underline{t} = \underline{n} \cdot S$

of $\underline{t} = -p \underline{n} + \underline{n} \cdot S'$, $S = -p \underline{I} + S'$

Impuls wet: $\frac{\partial}{\partial t} \iiint_B \underline{v} \rho d\tau + \iint_F \underline{v} \rho (\underline{v}, \underline{n}) d\mathcal{F} = \iiint_B \rho \underline{g} d\tau + \iint_F \underline{n} S d\mathcal{F}$

Oppervlakte integralen omwerken naar volume integralen.

1. x-comp van $\iint_F \underline{v} \rho (\underline{v}, \underline{n}) d\mathcal{F}$ is $\iint_F u \rho (\underline{v}, \underline{n}) d\mathcal{F} = \iiint_B \text{div}(u \rho \underline{v}) d\tau$

$\text{div } u \rho \underline{v} = u \text{div } \rho \underline{v} + \rho (\underline{v}, \text{grad } u)$ (Wisk. II).

analoog voor y en z componenten.

→ gezamenlijk $\text{div } \underline{v} \rho \underline{v} = \underline{v} \text{div } \rho \underline{v} + \rho (\underline{v}, \text{grad}) \underline{v}$.

$(\underline{v}, \text{grad}) \underline{v} = (u, v, w) \begin{pmatrix} \frac{\partial u}{\partial x} & \frac{\partial u}{\partial y} & \frac{\partial u}{\partial z} \\ \frac{\partial v}{\partial x} & \frac{\partial v}{\partial y} & \frac{\partial v}{\partial z} \\ \frac{\partial w}{\partial x} & \frac{\partial w}{\partial y} & \frac{\partial w}{\partial z} \end{pmatrix}$

$\iint_F \underline{v} \rho (\underline{v}, \underline{n}) d\mathcal{F} = \iiint_B \{ \underline{v} \text{div } \rho \underline{v} + \rho (\underline{v}, \text{grad}) \underline{v} \} d\tau$.

z component van $\iint_F \underline{n} \cdot \underline{S} \, d\vec{f}$ is $\iint_F [(-p + \sigma_{xx}) \cos(n, x) + \sigma_{yx} \cos(n, y) + \sigma_{zx} \cos(n, z)] \, d\vec{f}$

Dit omwerken met Gauss geeft $\iiint_B \left[\frac{\partial}{\partial x} (-p + \sigma_{xx}) + \frac{\partial}{\partial y} \sigma_{yx} + \frac{\partial}{\partial z} \sigma_{zx} \right] \, d\tau$

$\rightarrow \iint_F \underline{n} \cdot \underline{S} \, d\vec{f} = \iiint_B \operatorname{div} \underline{S} \, d\tau$

Impulsvergelijking in differentiaalvorm

$$\frac{\partial}{\partial t} (\rho \underline{v}) + \underline{v} \operatorname{div} \rho \underline{v} + \rho \underline{v} \cdot \operatorname{grad} \underline{v} = \rho \underline{g} + \operatorname{div} \underline{S}$$

$$\left. \begin{aligned} \frac{\partial}{\partial t} (\rho \underline{v}) &= \rho \frac{\partial \underline{v}}{\partial t} + \underline{v} \frac{\partial \rho}{\partial t} \\ \underline{v} \operatorname{div} \rho \underline{v} &= \rho \underline{v} \cdot \operatorname{grad} \underline{v} \end{aligned} \right\} \text{invullen in impulsvergelijking}$$

continuïteitsverg $\underline{v} \frac{\partial \rho}{\partial t} + \rho \operatorname{div} \underline{v} = 0$

Daarom staat

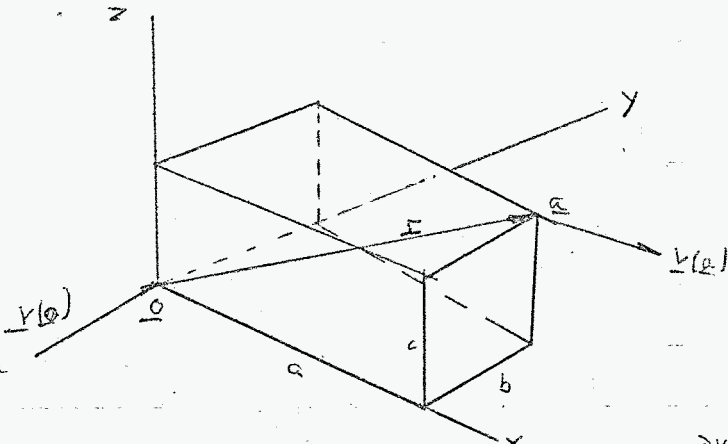
$$\rho \frac{\partial \underline{v}}{\partial t} + \rho \underline{v} \cdot \operatorname{grad} \underline{v} = \rho \underline{g} + \operatorname{div} \underline{S}$$

B₂

Constitutieve vergelijkingen.

S uitdrukken in grootheden van het snelheids veld.

Hiertoe worden de bewegingen van een deeltje wiskundig geformuleerd.



$$\underline{v}_p = \underline{v}(\underline{r}) = \underline{v}(a, b, c) = \underline{v}(0,0,0) + \frac{\partial \underline{v}}{\partial x} a + \frac{\partial \underline{v}}{\partial y} b + \frac{\partial \underline{v}}{\partial z} c + \dots = \underline{v}(0) + \underline{\Gamma} \cdot \underline{L}$$

$$\underline{L} = \begin{pmatrix} \frac{\partial u}{\partial x} & \frac{\partial v}{\partial x} & \frac{\partial w}{\partial x} \\ \frac{\partial u}{\partial y} & \frac{\partial v}{\partial y} & \frac{\partial w}{\partial y} \\ \frac{\partial u}{\partial z} & \frac{\partial v}{\partial z} & \frac{\partial w}{\partial z} \end{pmatrix} = \text{grad } \underline{v}$$

L is te splitsen in een symmetrische en een asymmetrische tensor (D resp $\underline{\Omega}$).

$$\text{Dan } \underline{v}(a, b, c) = \underline{v}(0) + \underline{\Gamma} \underline{D} + \underline{\Gamma} \underline{\Omega}$$

↳ notatie

↳ deformatie

Nu moeten er hypothesen gemaakt worden om een relatie tussen S en D te kunnen bewerkstelligen.

Deze zijn:

1. S is een lineaire functie van de deformatie tensor D
2. wanneer D = 0, dan S = -p J (evenwicht)
3. het medium is homogeen, d.w.z. S hangt niet van de plaats af.
4. het medium is isotroop, d.w.z. S hangt niet van de richting af.

Experimenten leeren dat een grote groep vloeistoffen hieraan voldoet.

constitutieve vergelijking $S = -p J + 2 \eta D$

De impulsvergelijking wordt dan

$$\rho \frac{d\mathbf{v}}{dt} = \rho \mathbf{g} + \text{div} \mathbf{S} = \rho \mathbf{g} - \text{grad } p + \text{div} \mathbf{S} = \rho \mathbf{g} - \text{grad } p + \text{div } 2\eta \mathbf{D}$$

$$\text{div } 2\eta \mathbf{D} = \eta \nabla^2 \mathbf{v} + \text{grad } \text{div } \mathbf{v} = \eta \nabla^2 \mathbf{v}$$

Dit geldt als is aangenomen dat $\frac{\partial p}{\partial t} = 0$ dan kont. vgl $\text{div } \mathbf{v} = 0$.

$$\text{Navier Stokes: } \rho \frac{d\mathbf{v}}{dt} = \rho \mathbf{g} - \text{grad } p + \eta \nabla^2 \mathbf{v}$$

B3

Schematische opbouw van het programma:

invoer (element heeft knooppunten en verbind. knooppunten)



bepalen bandbreedte



opbouw matrices Q_e (procedure STION)



maken matrix Q



bepalen vector f



oplossen $Q \phi = f$, procedure CHOLBD



uitvoer ϕ , bepalen snelheden procedure SWELH



uitvoer.

Uitbreiding verlag potentiaalstroming.

Op een tweedimensionale, stationaire, temperatuurverdeling is ook weer de Laplace vergelijking $\Delta\varphi = 0$ van toepassing. Alleen de randvoorwaarde wordt anders dan in het vorige probleem, de temperatuur is nu op de rand gegeven. Bij de potentiaalstroming was dit de normaal afgeleide op de rand.

Moest bij het vorige probleem gezocht worden naar een functie $\varphi(x,y)$ die de volgende functionaal minimaliseert:

$$J = -\frac{1}{2} \iint_{\Omega} \left\{ \left(\frac{\partial\varphi}{\partial x} \right)^2 + \left(\frac{\partial\varphi}{\partial y} \right)^2 \right\} dx dy + \int_S \varphi \left(\frac{\partial\varphi}{\partial n} \right) ds$$

Nu moet er gezocht worden naar een functie $T(x,y)$ die aan twee voorwaarden voldoet:

- minimaliseren van $\iint_{\Omega} \left\{ \left(\frac{\partial T}{\partial x} \right)^2 + \left(\frac{\partial T}{\partial y} \right)^2 \right\} dx dy$
- voldoen aan de randvoorwaarden. $T|_S = g(z)$

Kwam er in het eerste probleem een stel vergelijkingen $\Delta\varphi = f$, waarbij Δ en f bekend en φ onbekend.

De vector f komt van de bijdrage van $\int_S \varphi \left(\frac{\partial\varphi}{\partial n} \right) ds$.

In het tweede probleem komt er ook $\Delta T = f$ maar T en f zijn gedeeltelijk onbekend. Van de vector f is alleen bekend dat hij werkt op de rand en in het binnengebied nul is. Dus f bestaat uit twee stukken een bekend en een onbekend stuk.

Ook T bestaat uit twee stukken:

- een onbekend (gevoegd stuk) (φ)
- een bekend stuk, op te splitsen in twee stukken:
 - gegeven, niet met (T_0)
 - met (T_n)

Stel φ en T zijn zo gekoppeld (dan is Δ het ook)

Dan:
$$\begin{bmatrix} Q_{11} & Q_{12} & Q_{13} \\ Q_{21} & Q_{22} & Q_{23} \\ Q_{31} & Q_{32} & Q_{33} \end{bmatrix} \begin{bmatrix} T \\ T_0 \\ T_n \end{bmatrix} = \begin{bmatrix} 0 \\ f \\ 0 \end{bmatrix}$$
 $Q_{ij} (i,j = 1,2,3)$ zijn deelmatrices.

en hieruit $Q_{11} T + Q_{12} T_0 + Q_{13} T_n = 0$.

Nu blijkt de splitsing van T_n in 3 stukken zinloos want $Q_{13} T_n = 0$.

Dus op te lossen $Q_{11} T = -Q_{12} T_0$

Bij het programmeren is gebruik gemaakt van de lokale vector $lok(1:N)$. voor een beschrijving ervan verwijst u naar het artikel Numerieke Methoden van D. v. T. Janssen.

De invoergegevens zijn duidelijk vermeld op het programma.

Maar er is één zeer belangrijk iets. Bij de potentiaal strooming met de knooppunten bij nul beginnen het aantal n het werkelijke vermindert met 1.

Bij de temperatuur verdeling met 1 beginnen en het aantal n het werkelijke aantal.

De test van het 2D temperatuurverdelingsprobleem werd op de volgende wijze uitgewerkt:

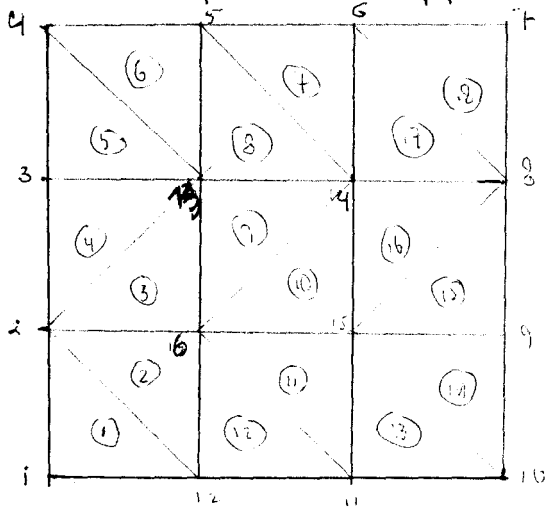


fig 1 verdeling in elementen van het gebied voor de test 16 knooppunten, 9 elementen.

De knooppunten 1, 2, 3, 4 hadden een voorgeschreven temperatuur gelijk aan nul.

1 en 12 één

6 en 11 twee

7, 8, 9, 13-16 drie

Als resultaat kwamen de temperaturen voor de knooppunten 13, 14, 15 en 16

die waren respectievelijk 1, 2, 2 en 1.

Dit helpt De temperatuur verloop lineair met de x en onafhankelijk van de y.